

## САМОСОГЛАСОВАННАЯ ПЕРЕНОРМИРОВКА ЧЛЕНА ЧЕРНА–САЙМОНСА И КОРРЕЛЯЦИИ В СИСТЕМЕ АНИОНОВ

Я.И.Коган, Д.В.Хвещенко

Показано, что в самосогласованном приближении эффект среды сводится к уменьшению коэффициента Черна–Саймонса вдвое, а не к его занулению. Обсуждаются разные свойства анионной жидкости, в частности двухступенчатая трансмутация статистики.

1. Недавно<sup>1, 2</sup> был предложен новый механизм сверхпроводимости в системе анионов – двумерных частиц с дробной статистикой<sup>3</sup>, связанный с появлением безмассового полюса в ток-токовом корреляторе. Используя теоретико-полевую реализацию анионов как обычных фермионов взаимодействующих с калибровочным полем с действием Черна–Саймонса (*CS*), в<sup>4</sup> было показано, что безмассовый полюс возникает тогда и только тогда, когда перенормированное действие Черна–Саймонса исчезает, т. е. индуцированное средой действие полностью сокращает затравочное. Безмассовый полюс отвечает "оживающему" безмассовому *CS* фотону, который при ненулевом коэффициенте перед действием Черна–Саймонса приобретает массу<sup>5</sup>. В работах<sup>6, 7</sup> было показано, что при ненулевой температуре *T* полного сокращения не происходит, но при *T*=0 зануление перенормированного действия Черна–Саймонса происходит во всех порядках теории возмущений по константе связи. В этой работе мы хотим доказать, что на самом деле полного сокращения не происходит и при правильном вычислении перенормированного действия в самосогласованном приближении возникает универсальный конечный коэффициент в два раза меньше затравочного (см. ниже (10)).

2. Система анионов с ненулевой плотностью описывается при *T*=0 континуальным интегралом по фермионному и калибровочному полям

$$Z = \int D\psi D\bar{\psi} D A_\mu \exp(iS)$$

с действием

$$S = \int d^3x [\bar{\psi} (iD - m) \psi - \mu \bar{\psi} \gamma_0 \psi + \frac{k}{16\pi} \epsilon_{\mu\nu\lambda} F_{\mu\nu} A_\lambda - \frac{1}{4\gamma} F_{\mu\nu}^2], \quad (1)$$

где  $\mu$  – хим. потенциал, определяющийся плотностью анионов  $\rho$ ,  $m$  – масса фермиона (аниона). В (1) введен член  $\sim F_{\mu\nu}^2$  возникающий вследствие квантовых поправок в среде. Собственно анионы, т. е. свободные частицы с дробной статистикой отвечают пределу  $\gamma \rightarrow \infty$ , однако из-за конечной плотности  $\gamma_R^{-1} \neq 0$  (даже в нерелятивистском приближении). Из классического действия (1) следуют уравнения движения

$$\frac{1}{\gamma} \partial_\mu F_{\mu\nu} + \frac{k}{8\pi} \epsilon_{\nu\lambda\rho} F_{\lambda\rho} = \bar{\psi} \gamma_\mu \psi, \quad (2)$$

нулевая компонента которых есть условие связи накладываемое на квантовые состояния:

$$\frac{1}{\gamma} \partial_i \hat{F}_{i0}(x) + \frac{k}{8\pi} \epsilon_{ij} \hat{F}_{ij}(x) = \psi^+(x) \psi(x). \quad (3)$$

Усреднив операторное равенство по пространству легко получить соотношение между средней плотностью  $\hat{\rho} = \frac{1}{S} \int d^2x \psi^+(x) \psi(x)$  и магнитным полем  $\hat{B} = \frac{1}{2S} \int d^2x \epsilon_{ij} \hat{F}_{ij}(x)$  (или умножив на  $S$  между оператором полного числа частиц  $\hat{N}$  и оператором полного потока  $\hat{\Phi}$ )

$$\hat{B} = \frac{4\pi}{k} \hat{\rho}. \quad (4)$$

В приближении среднего поля, используемого в <sup>1, 2, 6, 7</sup> необходимо усреднить (4) по состоянию системы, иначе говоря необходимо рассматривать соотношение между перенормированными матричными элементами, при этом коэффициент  $k$  необходимо заменить эффективным (перенормированным) коэффициентом  $k_R$ . То что такая перенормировка нетривиальна следует из вида уравнения (2), в правой части которого стоит сохраняющийся, а, значит, и ренорминвариантный ток, а  $F_{\mu\nu}$  в левой части перенормируется и эта перенормировка определяется поляризационным оператором фотона, т. е. перенормировкой пропагатора. В самом деле, уравнение (2), а тем самым и (4), следует из соотношения между полем и током  $A_\mu(p) = G_{\mu\nu}(p)J_\nu(p)$ , где пропагатор (после перенормировки)

$$G_{\mu\nu}(p) = \frac{\gamma_R g^\perp_{\mu\nu}}{p^2 - M^2} + i \frac{M \gamma_R \epsilon_{\mu\nu\lambda} p_\lambda}{p^2(p^2 - M^2)} + \xi \frac{p_\mu p_\nu}{p^4} \quad (5)$$

и  $M = \gamma_R k_R / 4\pi$  – перенормированная масса фотона. Перенормировки  $\gamma$  и  $k$  определяются симметричной и антисимметричной частями поляризационного оператора

$$\Pi_{\mu\nu}(p) = (p^2 g_{\mu\nu} - p_\mu p_\nu) \Pi_{even}(p^2) + i \epsilon_{\mu\nu\lambda} p_\lambda \Pi_{odd}(p^2)$$

по следующим формулам:

$$\begin{aligned} k_R &= k + \Pi_{odd}(0) \\ \frac{1}{\gamma_R} &= \frac{1}{\gamma} + \Pi_{even}(0) \end{aligned} \quad (6)$$

причем в силу теоремы Коулмена–Хилла <sup>8</sup>  $\Pi_{odd}(0)$  определяется только однопетлевыми диаграммами (в <sup>6</sup> эта теорема была обобщена на случай конечных плотностей). Из (6) сле-

дует связь между средними по состоянию  $B = \langle \hat{B} \rangle$  и  $\rho = \langle \hat{\rho} \rangle$

$$B = \frac{4\pi}{k + \Pi_{odd}(0)} \rho. \quad (7)$$

С другой стороны сама локальная плотность  $\rho(x) = \langle \bar{\psi}(x) \gamma_0 \psi(x) \rangle = \text{Tr} \gamma_0 G(x, x)$  определяется внешним магнитным полем  $B$  вследствие явной зависимости от него фермионной функции Грина  $G(x, y) = \sum_k \psi_k^*(x) \psi_k(y)/E_k$ , где  $E_k$  и  $\psi_k(x)$  – собственные значения энергии и волновые функции стационарных состояний во внешнем магнитном поле  $B$  (уровни Ландау). На рис. 1 изображена диаграмма для плотности, где головастики отвечают вершинам взаимодействия с внешним полем, самосогласованно зависящим от плотности согласно формуле (7). Усредняя по пространству и варьируя по плотности легко получить тождество (см. рис. 2)

$$\delta \rho = - \frac{\Pi_{odd}(0)}{k + \Pi_{odd}(0)} \delta \rho \quad (8)$$

аналогичное тождеству  $\delta \rho/\delta B = -1/4 \cdot \Pi_{odd}(0)$ , полученному в <sup>6</sup>. Отсюда следует, что

$$k_R = k + \Pi_{odd}(0) = -\Pi_{odd}(0). \quad (9)$$

Легко понять (9) из следующих соображений: из (7) следует, что имеется  $2\pi\rho/B = k_R/2$  заполненных уровняй Ландау, каждый из которых вносит в холловскую проводимость  $\sigma_{xy} = \Pi_{odd}(0)/4\pi$  вклад равный  $-1/2\pi$ <sup>9, 10</sup>, т. е.  $\sigma_{xy} = -k_R/4\pi$ , что приводит к (9). Таким образом получается основной результат данной работы

$$k_R = \frac{1}{2}k \quad (10)$$

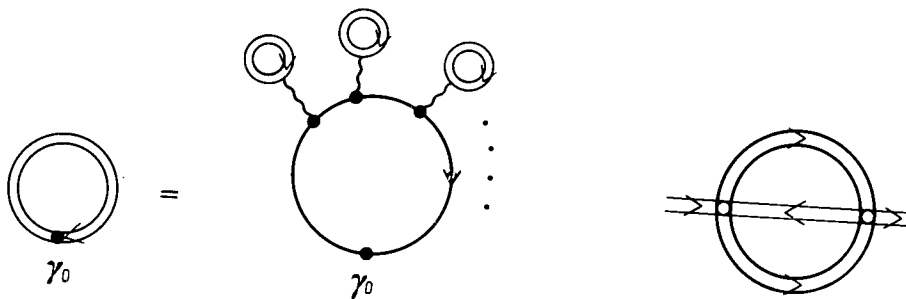


Рис.1

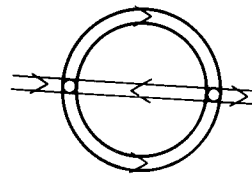


Рис.3

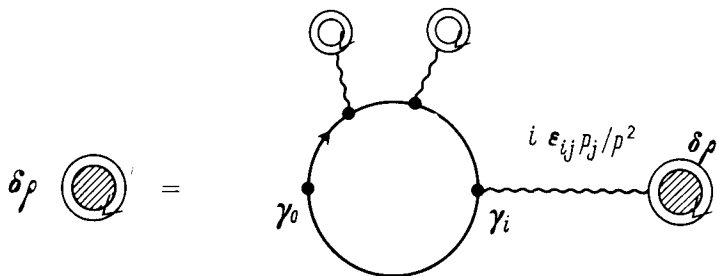


Рис.2

3. В этом выводе предполагалось, что имеется невырожденное основное состояние, что безусловно верно в случае полностью заполненных уровняй Ландау, имеющее место при  $k = 4N$ . При других  $k$  возникает формально вырожденная ситуация с частично заполненным верхним уровнем, вырождение снимается, как и в случае дробного квантового эффекта Холла<sup>9, 11</sup>, при учете контактных четырехфермионных взаимодействий. В данном случае они воз-

никают из-за обмена массивным фотоном, масса которого  $M = k_R \gamma_R$  конечна из-за (6) даже в пределе  $\gamma \rightarrow \infty$ . С точки зрения одночастичного спектра это взаимодействие приводит к уширению уровня Ландау, не меняя полной плотности. Масштаб уширения определяется мнимой частью оператора  $\Sigma$  – собственной энергии фермиона (главный порядок – рис.3) и равен по порядку величины  $\Gamma \sim \rho^3 / kmM^4$ .

Интересной представляется возможность исчезновения контактного взаимодействия, при этом возникают вырожденные состояния и может возникнуть голдстоуновская мода – анионная жидкость становится сжимаемой! Такое "зануление" контактного взаимодействия может происходить при определенном соотношении между массами фермиона  $m$  и фотона  $M$ , когда  $m=M$ , точнее когда  $2\mu M=1$ ,  $\mu$  – здесь магнитный момент фермиона. Как показано в <sup>12</sup> эта точка разделяет область отталкивания при  $2\mu M < 1$  от области притяжения двух фермионов при  $2\mu M > 1$ . В последнем случае возникает нестабильность системы. Возможно, что переходная область "нуль-короткодействия" приводит к появлению безмассовых возбуждений и безусловно требует дальнейшего внимательного изучения. Также представляют интерес случаи, когда возникает вырождение между конечным числом состояний, при этом голдстоуновской моды не возникает, но возможны поправки к закону (10) порядка  $o(k)$ .

**4.** В заключение обсудим следствия перенормировки (10). Рассмотрим процесс перестановки двух фермионов на расстоянии  $r$ . Фазовый фактор возникающий при этом есть  $\exp(\pi i - 2\pi i c(r))$ , где

$$c(r) = \frac{1}{k(r)} (1 - M(r) r k_1(r M(r))), \quad (11)$$

здесь  $M(r)$  и  $k(r)$  – значения массы и коэффициента  $k$  на характерном масштабе  $r$ . При этом  $k(0) = k$ ,  $k(\infty) = k/2$  и переход происходит на масштабах порядка  $\rho^{-1/2}$ . Характерный масштаб на котором второй член в скобках в (11) становится малым есть  $M^{-1}$  и он всегда меньше первого. Это приводит к двухступенчатой трансмутации статистики, а именно:  $c$  меняется от 0 до  $1/k$  на масштабе  $M^{-1}$ , затем от  $1/k$  до  $2/k$  в инфракрасной области. При этом в случае "семионов" <sup>13</sup>, для которых  $k=4$  фазовый фактор есть  $\exp(\pi i - 2\pi i \frac{2}{4}) = 1$  и статистика оказывается бозевской. В случае образования БКШ конденсата в этом случае эффективная теория будет  $P$ -четной, так как значение  $c=1/2$  как раз отвечает точкам восстановления  $P$ -четности. Заметим, что подобной второй трансмутации не будет в случае двухзарядной анионной жидкости, рассматриваемой в <sup>14</sup>, так как в этом случае среднее поле отсутствует и перенормировка (10) просто нет. В заключение отметим, что наличие такой перенормировки в однозарядной жидкости приводит к появлению двух масштабов  $M^{-1}$  и  $\rho^{-1/2}$  и интересной интерпретации эффективного действия в инфракрасной области как топологически массивной теории со спонтанным нарушением симметрии (механизм Хиггса), при этом анионы описываются вихревыми решениями в этой фазе (анион как солитон). Эта картина будет изложена в отдельной публикации авторов.

### Литература

1. Fetter A., *et al.* Phys. Rev. B, 1989, **39**, 9679.
2. Chen Yi-H. *et al.* IJMP, B, 1989, **4**, 961.
3. Leinaas J., Myrheim J. Nuovo Cimento b, 1977, **37**, 1; Goldin G.A. *et al.* J. Math. Phys., 1981, **22**, 1664; Wilczek F. Phys. Rev. Lett., 1982, **48**, 1144; 1982, **49**, 957.
4. Banks T., Lukken J. Santa-Cruz, preprint SCIPP 89/12.
5. Siegel W. Nucl. Phys. B, 1979, **156**, 135; Schonfeld J. Nucl. Phys. B, 1987, **185**, 157; Deser S. *et al.* Phys. Rev. Lett., 1983, **48**, 975.
6. Lukken J. *et al.* Preprint UCLA/89/TEP/52.
7. Randjbar-Daemi S. *et al.* Preprint IC/89/283.

8. *Coleman S., Hill B.* Phys. Lett. B, 1985, **159**, 184.
9. "The Quantum Hall Effect", Springer, 1984.
10. *Khveshchenko D.V., Wiegmann P.B.* Mod. Phys. Lett. B, 1989, **3**, 1383.
11. *Laughlin R.B.* Phys. Rev. Lett., 1983, **50**, 1395.
12. *Kogan Ya.I.* JETP. Lett., 1989, **49**, 225.
13. *Laughlin R.* Phys. Rev. Lett., 1988, **60**, 267.
14. *Kogan Ya.I., Khveshchenko D.V.* JETP. Lett., 1989, **50**, 137.

Институт теоретической физики им. Л.Д.Ландау  
Академии наук СССР

Институт теоретической и  
экспериментальной физики

Поступила в редакцию  
4 апреля 1990 г.

---